

図Ⅱ-2-12(1) ホンリン・ウラスコ鉱微地充電率・比抵抗インバージョン結果及び地質断面図 (H-1)

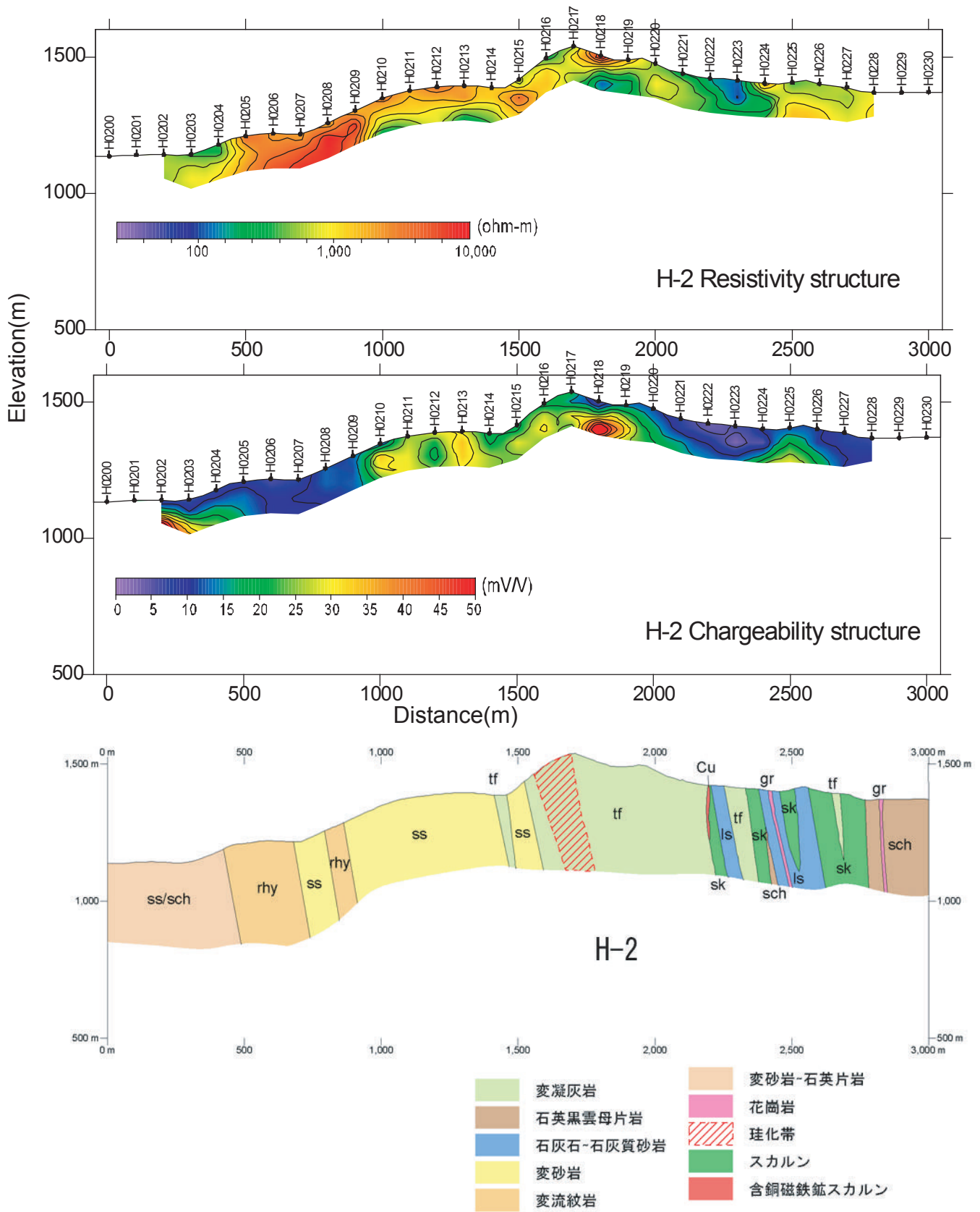
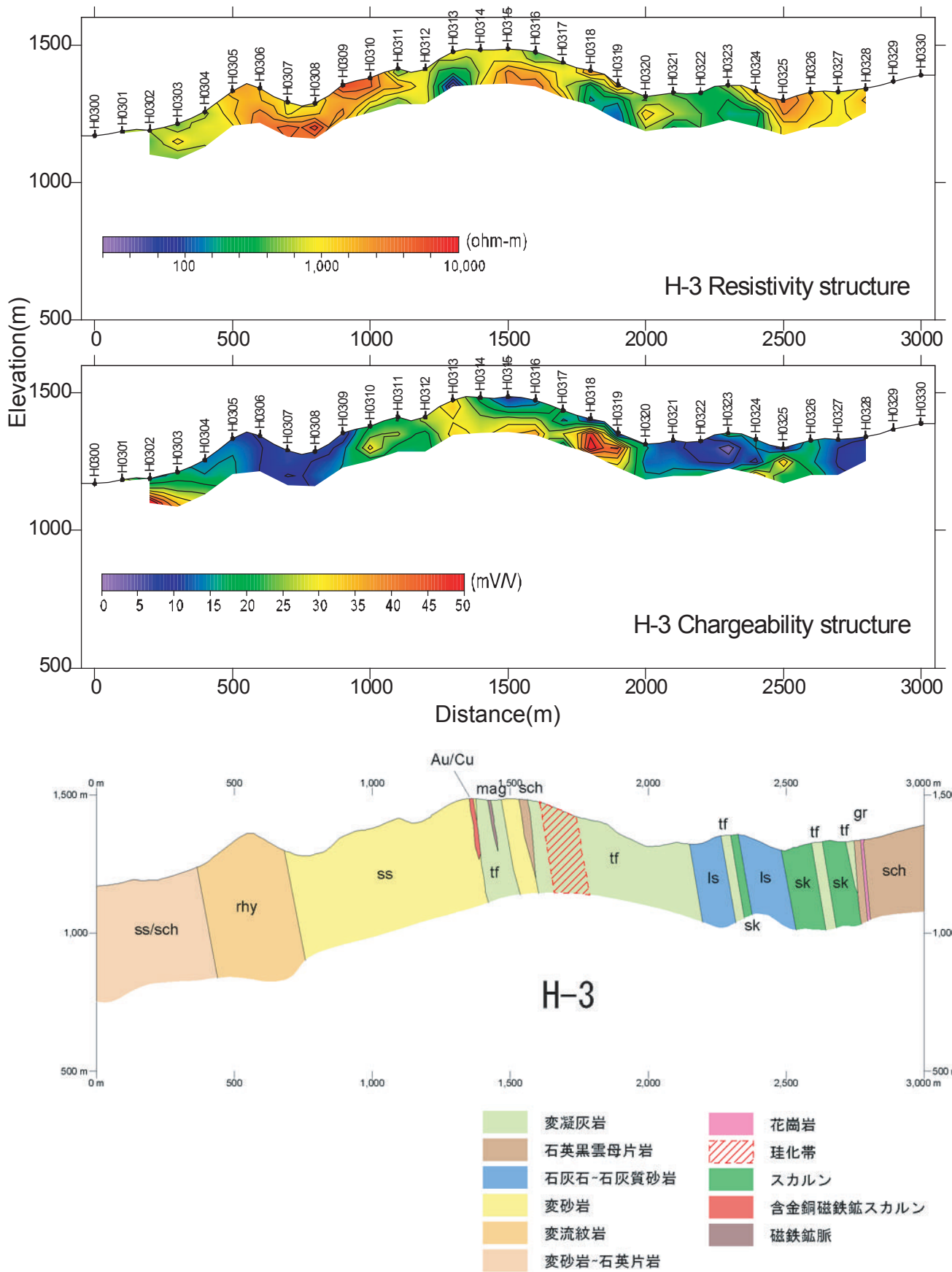


図 II-2-12 (2) ホンリン・ウラスコ 鉱微地充電率・比抵抗インバージョン結果及び地質断面図 (H-2)



図Ⅱ-2-12(3) ホンリン・ウラスコ鉱地微地充電率・比抵抗インバージョン結果及び地質断面図 (H-3)

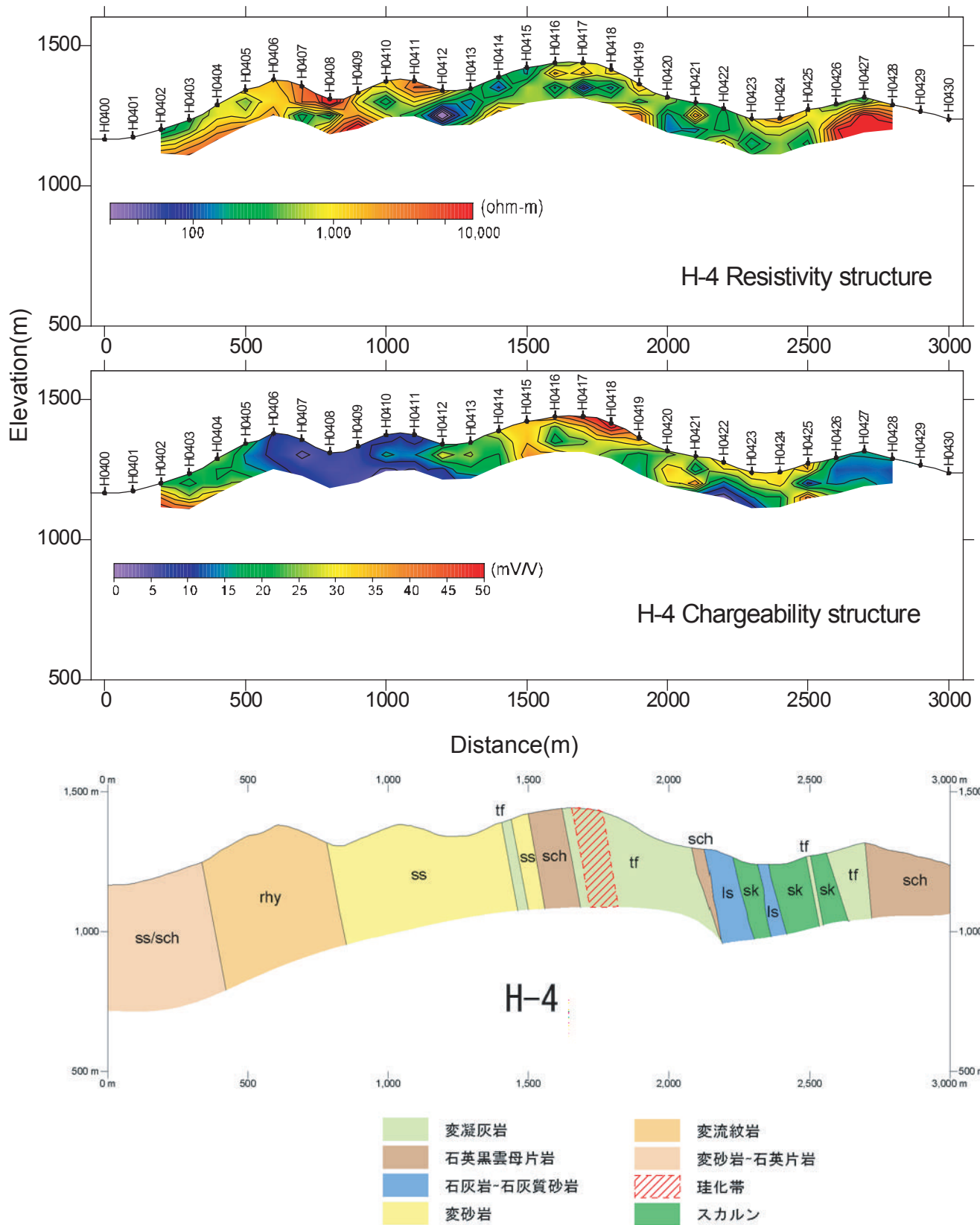
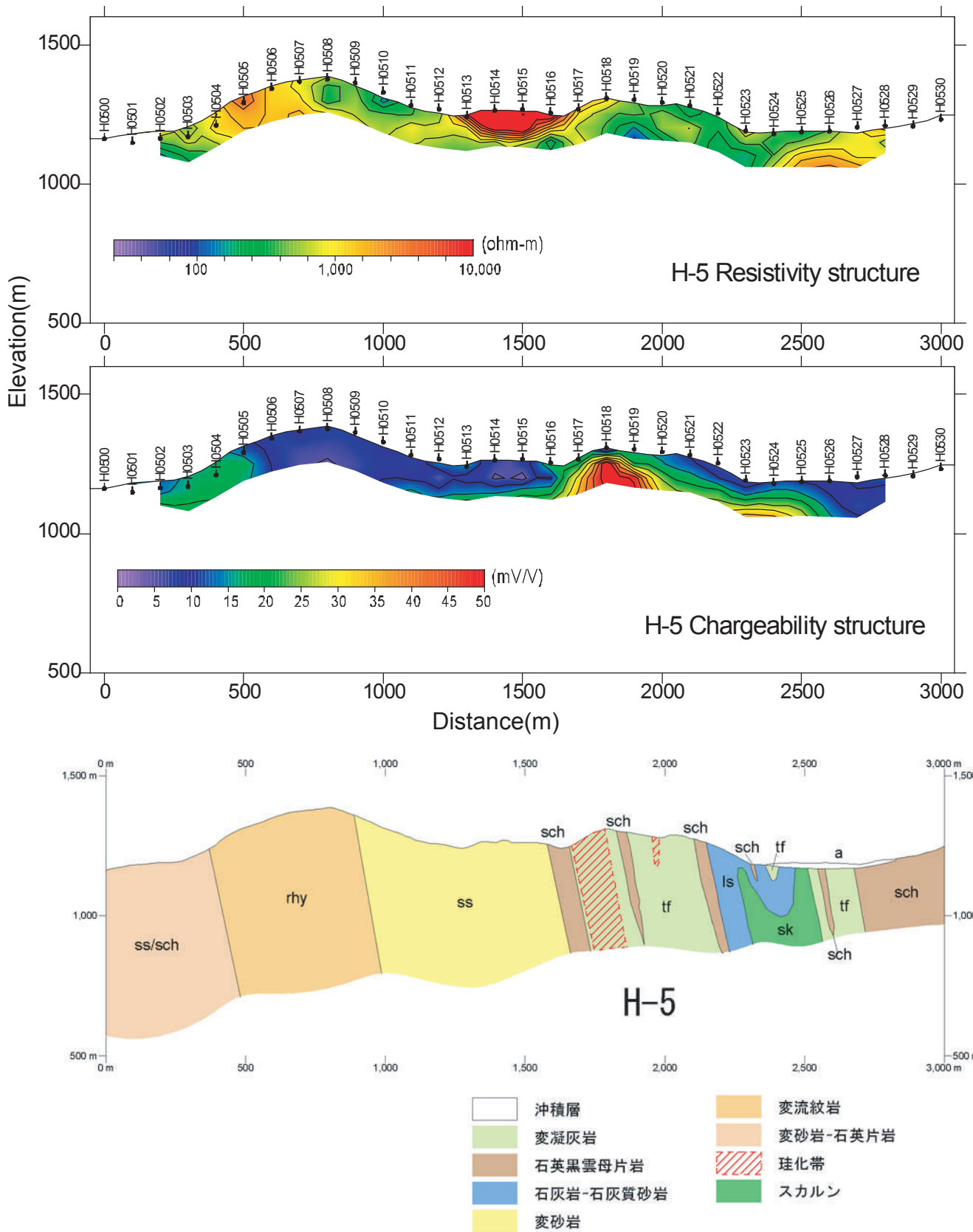


図 II-2-12 (4) ホンリン・ウラスコ鉱徴地充電率・比抵抗インバージョン結果及び地質断面図 (H-4)



図Ⅱ-2-12(5) ホンリン・ウラスコ鉱徴地充電率・比抵抗インバージョン結果及び地質断面図 (H-5)

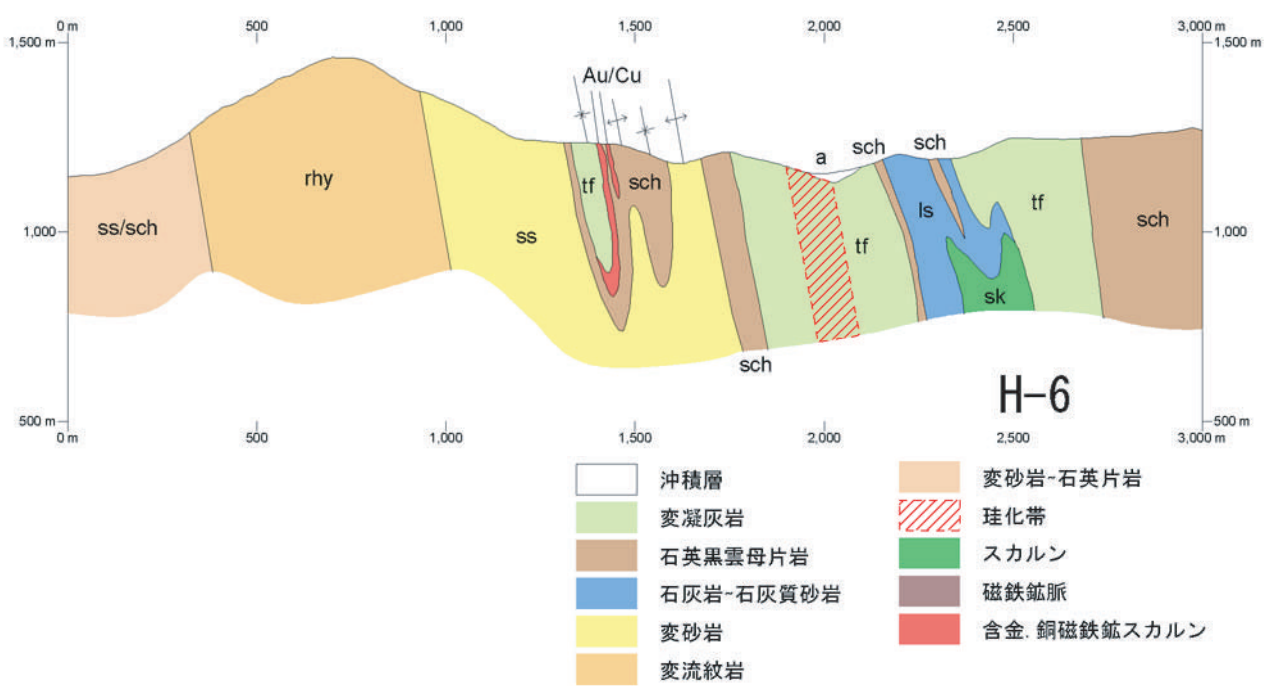
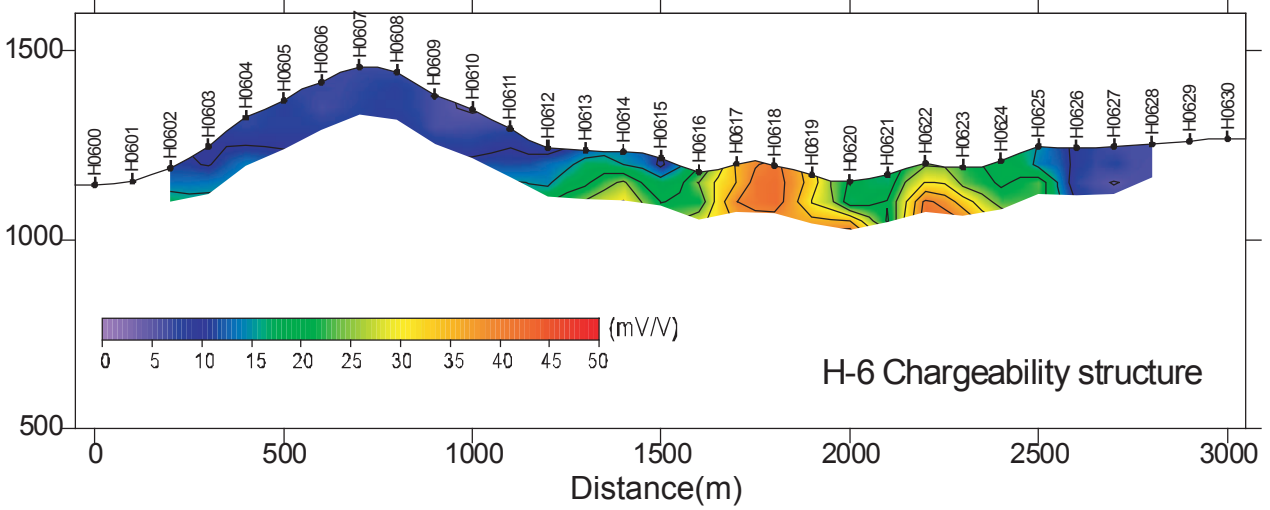
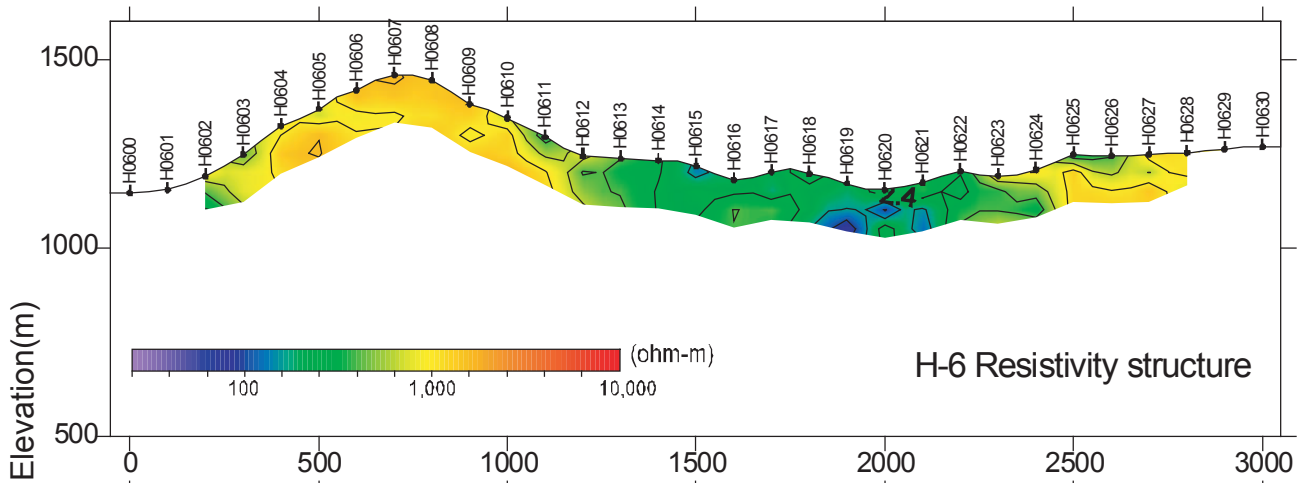
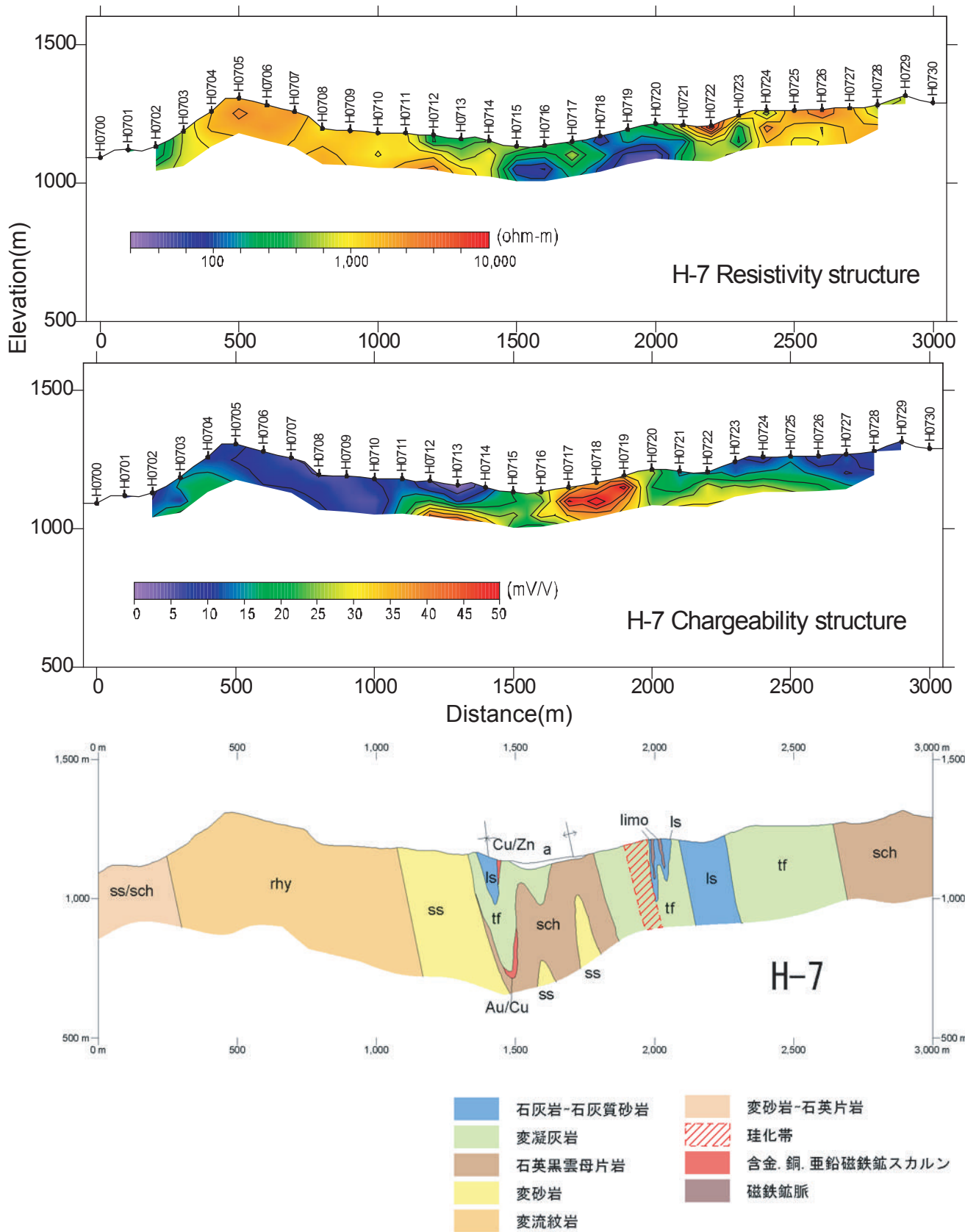
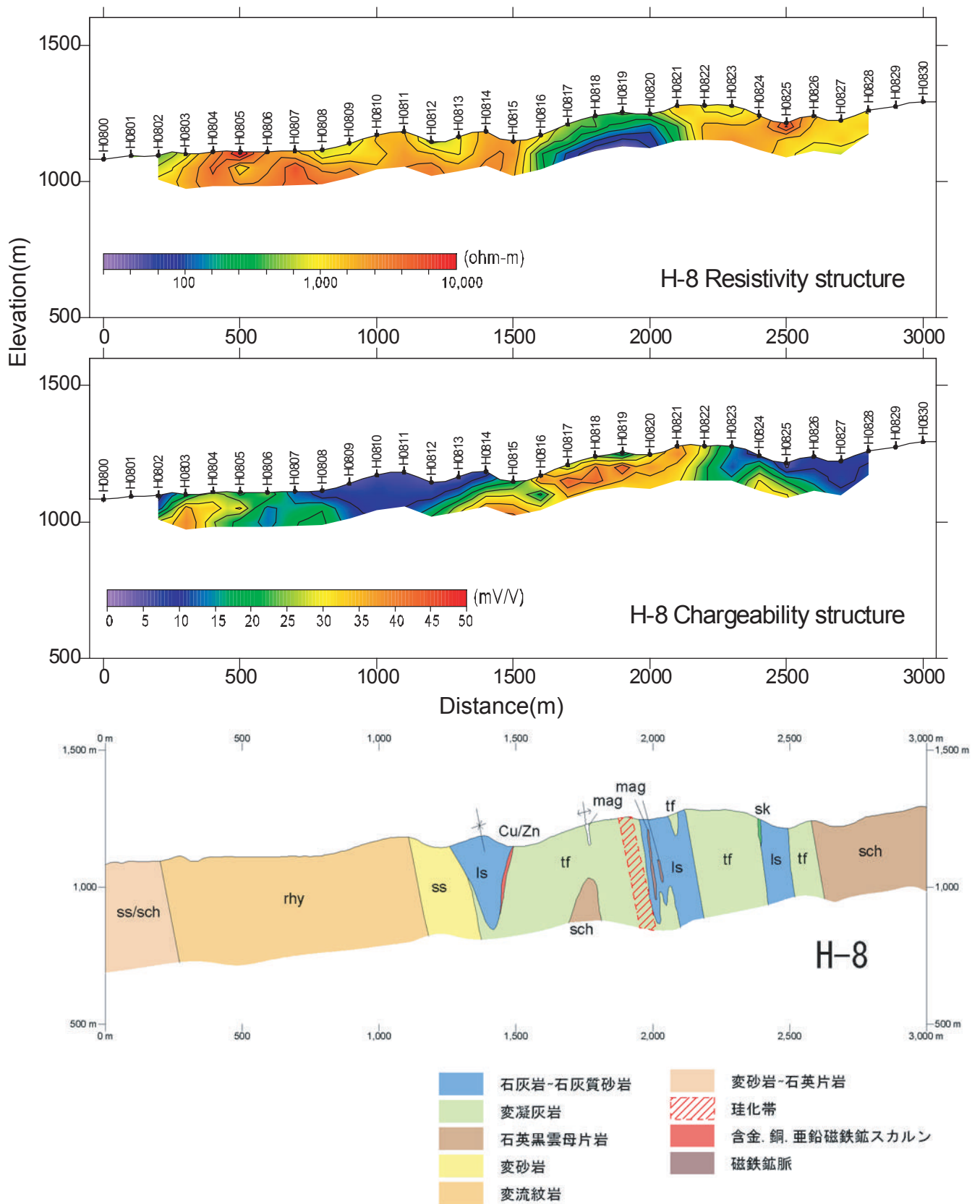


図 II-2-12 (6) ホンリン・ウラスコ 鉱微地充電率・比抵抗インバージョン結果及び地質断面図 (H-6)

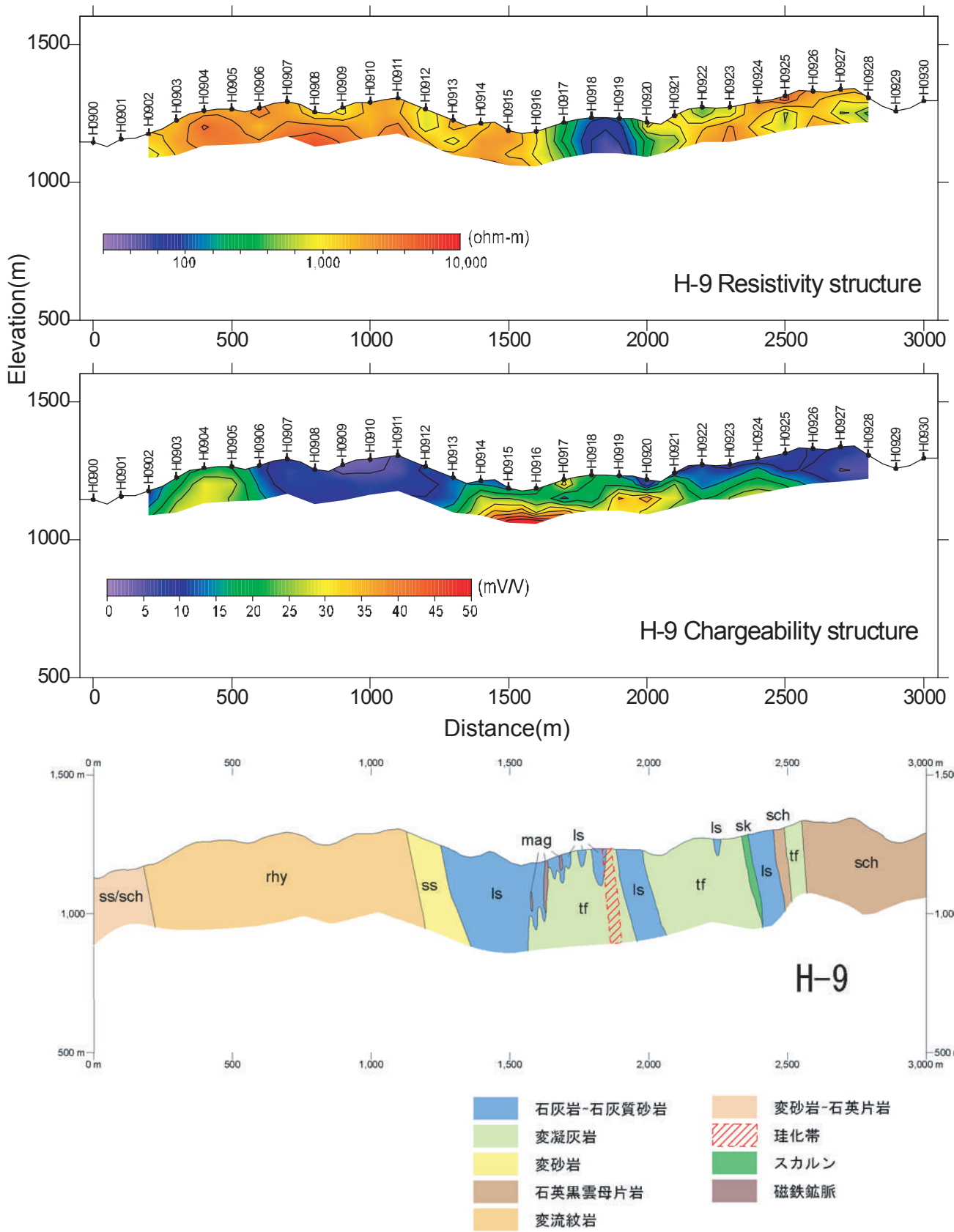


図Ⅱ-2-12(7) ホンリン・ウラスコ鉱微地充電率・比抵抗インバージョン結果及び地質断面図 (H-7)

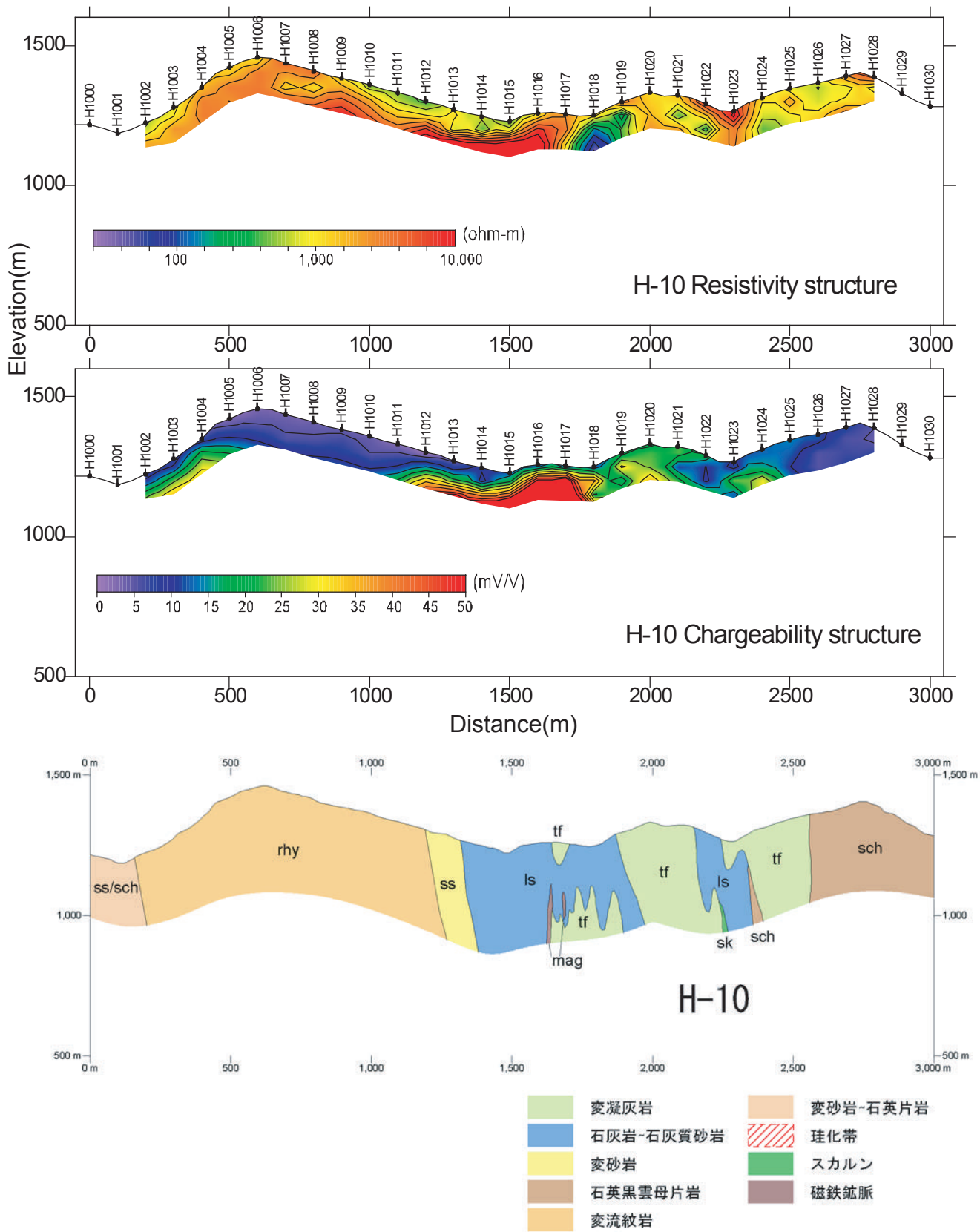


図Ⅱ-2-12(8) ホンリン・ウラスコ鉛微地充電率・比抵抗インバージョン結果及び地質断面図 (H-8)





図Ⅱ-2-12(9) ホンリン・ウラスコ鉱微地充電率・比抵抗インバージョン結果及び地質断面図 (H-9)



図Ⅱ-2-12(10) ホンリン・ウラスコ鉱微地充電率・比抵抗インバージョン結果及び地質断面図 (H-10)

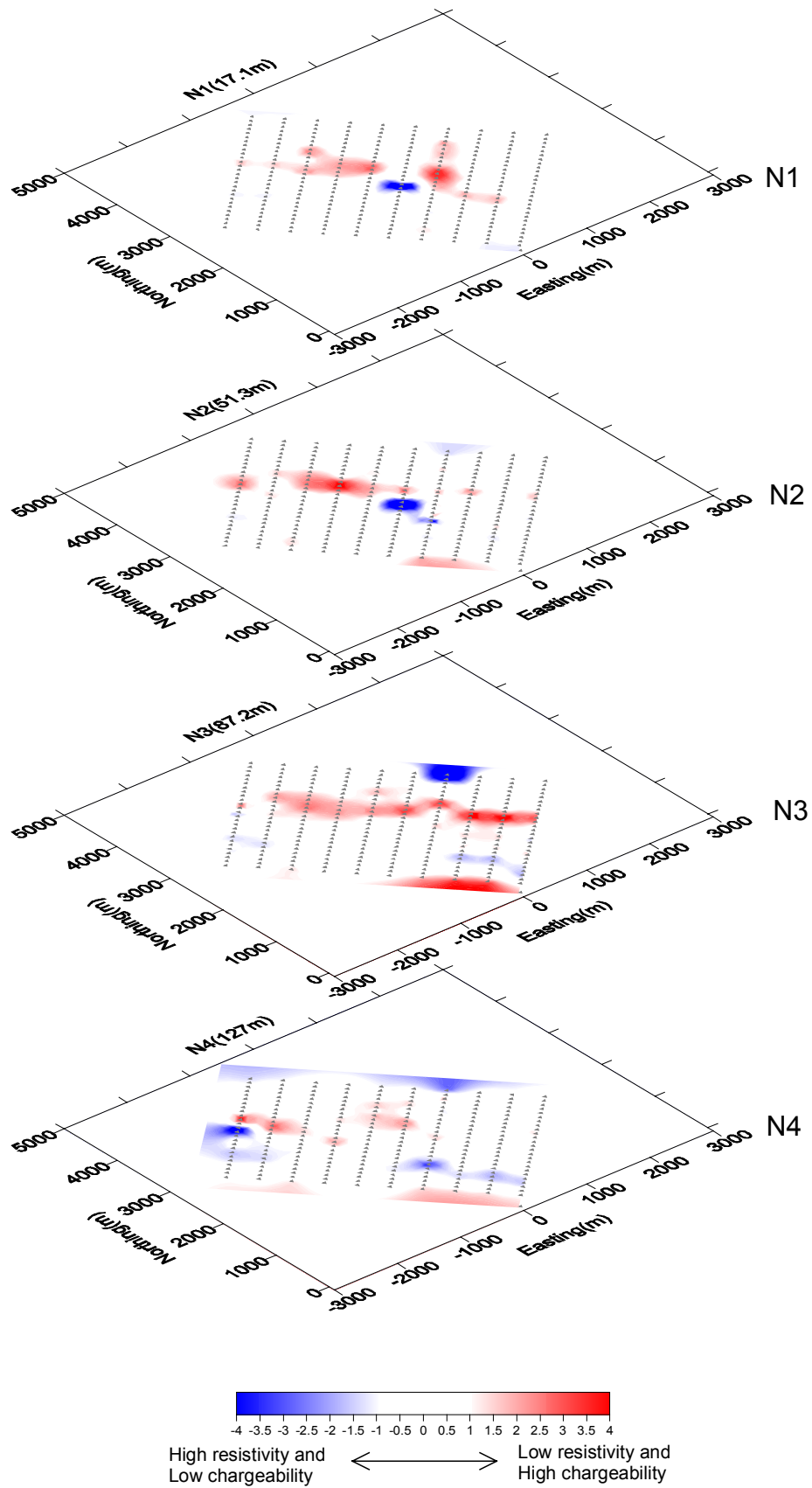


図 11-2-13 ホンリン・ウラスコ鉱地充電率異常・推定比抵抗構造図

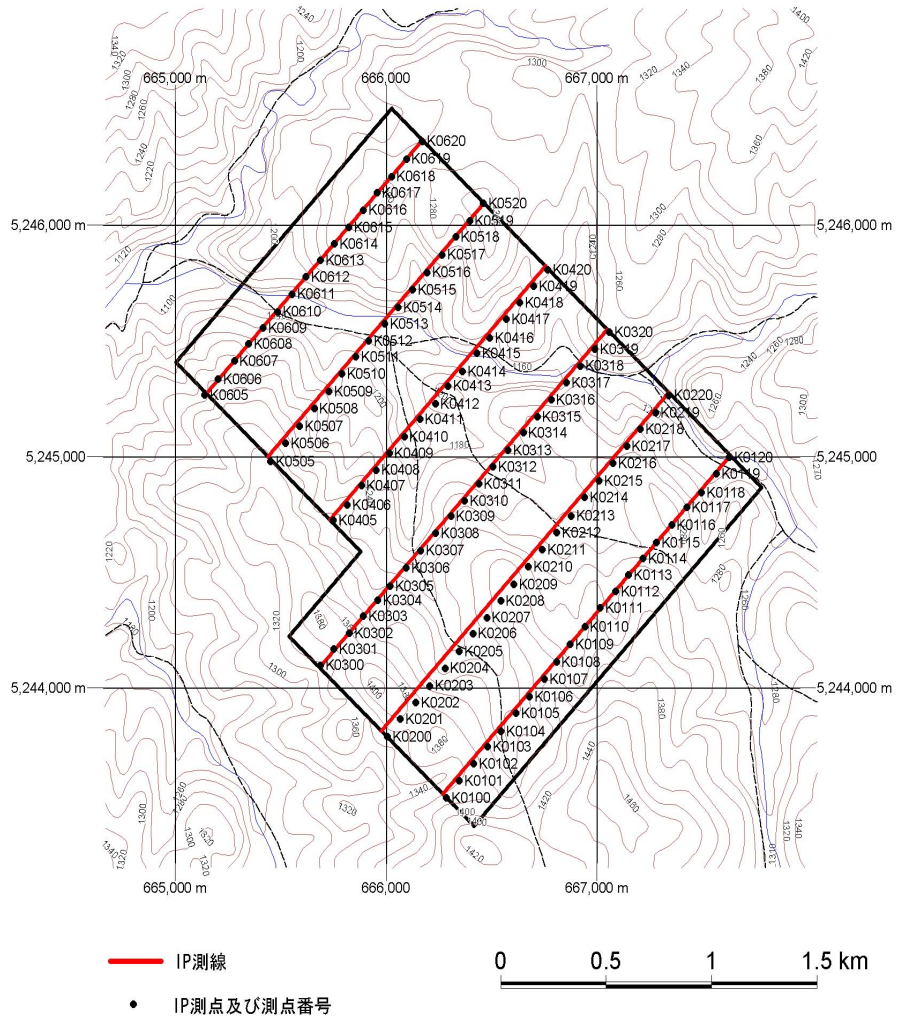
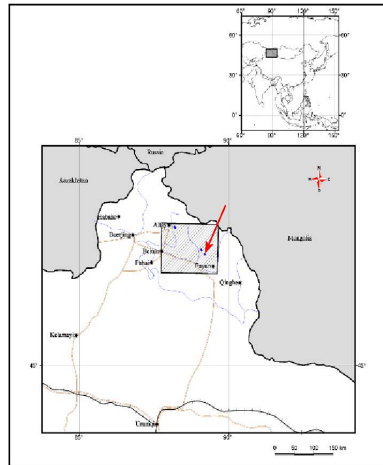


図 II-2-14 マイズ地区 88-15異常帯 IP 測線位置図